

This airborne geophysical survey and the production of this map were funded by the Saskatchewan Ministry of Energy and Resources and the GEM-Energy Program of the Earth Sciences Sector, Natural Resources Canada.

Ce levé géophysique et le production de cette carte ont été financés par le ministère de l'Energie et des Ressources de la Saskatchewan et le programme GEM-Energie du Secteur des sciences de la Terre, Ressources naturelles Canada.

GSC OPEN FILE 6796 / DOSSIER PUBLIC 6796 DE LA CGC
SMER OPEN FILE 2011-31

GEOPHYSICAL SERIES / SÉRIE DES CARTES GÉOPHYSIQUES

AIRBORNE GEOPHYSICAL SURVEY OF THE NORTHWESTERN ATHABASCA BASIN, SASKATCHEWAN
LEVÉ GÉOPHYSIQUE AÉROPORTÉ DE LA PARTIE NORD-OUEST DU BASSIN ATHABASCA, SASKATCHEWAN
NTS 74 K/15 Atchison Lake / SNRC 74 K/15 Atchison Lake

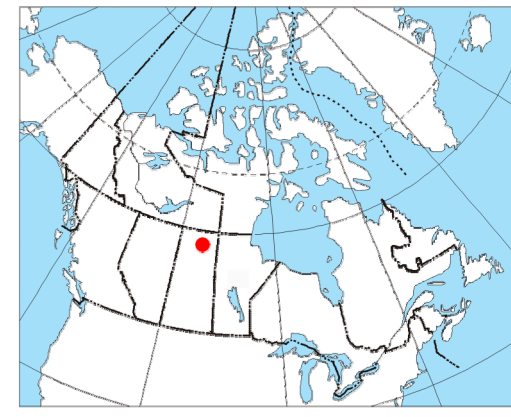
RESIDUAL TOTAL MAGNETIC FIELD COMPOSANTE RÉSIDUELLE DU CHAMP MAGNÉTIQUE TOTAL

Authors: Fortin, R., Coyle, M., Buckle, J.,
Hefford, S.W. and Delaney, G.

Data acquisition, compilation and production by Géodac Airborne Surveys, Saskatoon, Saskatchewan. Contract and project management by the Geological Survey of Canada, Ottawa, Ontario.

Auteurs : Fortin, R., Coyle, M., Buckle, J.,
Hefford, S.W. et Delaney, G.

L'aquisition, la compilation des données ainsi que la production des cartes fut effectuée par Géodac Airborne Surveys, Saskatoon, Saskatchewan. La gestion et la supervision du projet furent effectuées par la Commission géologique du Canada, Ottawa, Ontario.



Scale 1:50 000 - Échelle 1/50 000

mètres 1000 0 1000 2000 3000 mètres

NAD83 / UTM zone 13N

Universal Transverse Mercator Projection
Northing Range 13N 1993
H.M.Q.C. Right of Canada 2011

Digital topographic data provided by Geomatics Canada, Natural Resources Canada
Données topographiques numériques de Geomatics Canada, Ressources naturelles Canada

Projection transverse universelle de Mercator
Système de coordonnées 1993
G.S.M. et G.R.C. 2011

Données topographiques numériques de Geomatics Canada, Ressources naturelles Canada

Introduction

A quantitative gamma-ray spectrometry and aerogeophysical survey of the Northwestern Athabasca Basin, Saskatchewan, was completed by Géodac Airborne Surveys. The survey was carried out from June 24th to September 26th on two Pilatus PC-31 Navajo aircraft (C-GJBA, C-GJB8) and one Cessna Caravan (C-GLDX). The nominal traverse and control spacings were, respectively, 1000 m and 2400 m and the aircraft flew at a nominal altitude of 125 m at an airspeed between 100 and 200 km/h. The survey lines were oriented 130° with orthogonal control lines. The light path was recovered post-flight differential corrections to raw data recorded by a Global Positioning System.

Gamma-ray Spectrometric Data

The airborne gamma-ray measurements were made with a Radiation Solutions RS-500 gamma-ray spectrometer using four 102x102x6 mm NaI (Tl) crystals. The main detector array consisted of twelve crystals (total volume 50.4 liters), shielded by the main array, were used to detect variations in background radiation caused by atmospheric radon. The system constantly monitored the natural thorium peak for each crystal, and using a Gaussian least squares algorithm, adjusted the gain for each crystal.

Potassium was measured directly from the 1460 keV gamma-ray photons emitted by K^+ , whereas uranium and thorium are measured indirectly from gamma-ray photons emitted by their daughter products (^{40}K for potassium and ^{232}Th for thorium). Although these daughters are referred to as their respective decay chains, they are assumed to be in equilibrium with their parent elements: thus gamma-ray spectrometric measurements of uranium and thorium are referred to as equivalent uranium and equivalent thorium, i.e. eU and eTh . The energy windows used to measure potassium, uranium and thorium are, respectively: 1370-1570 keV, 1660-1860 keV, and 2410-2810 keV.

Gamma-ray spectra were recorded at one-second intervals. Data processing followed standard procedures as described in IAEA, 1991 and IAEA, 2003. During processing, spectra were energy calibrated, and counts were converted to the windows described above. Counts for the radon detector were corrected for the decay of the radon and its daughter products. The energy windows were corrected for the time, background and detector efficiency. The window data were then corrected for spectral scattering in the ground, air and detectors. Corrections for deviations from the planned terrain clearance and for variation of temperature and pressure were made prior to conversion to ground concentrations of potassium, uranium, and thorium are listed in Table 1.

	C-GJBA	C-GJB8	C-GLDX
Potassium (cpk%)	63.27	62.05	99.73
Uranium (cpk%)	15.82	15.82	10.39
Thorium (cpk%)	5.61	5.45	6.57

Table 1 Gamma Ray Spectrometer Sensitivities for each aircraft

Corrected data were filtered and interpolated to a 100 m grid interval. The results of an airborne gamma-ray spectrometer survey represent the average surface concentrations that are influenced by varying amounts of outcropping, overburden, vegetation cover, soil moisture and surface water. As a result the measured concentrations are usually lower than the actual bedrock concentrations. The total air absorbed dose rate in nanograys per hour was produced from measured counts between 400 and 2810 keV.

Magentic Data

The magnetic field was sampled 10 times per second using a split-beam cesium vapour magnetometer (sensitivity = 0.005 nT) rigidly mounted to the aircraft. Differences in magnetic values at the intersections of control and traverse lines were computer-analyzed to obtain a mutually leveled set of flight-line magnetic data. These leveled values were then interpolated to a 100 m grid. The International Geomagnetic Reference Field (IGRF) defined at the average GPS altitude of 510 m for the year 2010.61 was then removed. Removal of the IGRF, representing the magnetic field of the Earth's core, produces a residual component related essentially to magnetizations within the Earth's crust.

The first vertical derivative of the magnetic field in the vertical direction. Computation of the first vertical derivative removes long wavelength features of the magnetic field and significantly improves the resolution of closely spaced and superposed anomalies. A property of first vertical derivative maps is the coincidence of zero-value contour with vertical contacts of magnetic units at high magnetic latitudes (Hood, 1985).

LEVÉ GÉOPHYSIQUE DE LA PARTIE NORD-OUEST DU BASSIN ATHABASCA, SASKATCHEWAN

Introduction

Un levé géophysique aéroporté combinant l'acquisition de données de spectrométrie gamma et de données magnétiques a été réalisé dans la partie nord-ouest du bassin de l'Athabasca en Saskatchewan par la société Géodac Airborne Surveys. Le levé a été effectué du 24 juin au 21 septembre 2010, à bord de deux avions Piper PA-31 Navajo (C-GJBA, C-GJB8) et d'un Cessna Caravan (C-GLDX). L'espacement initial des lignes de vol était de 400 m et calculé des lignes de contrôle de 2400 m. L'altitude nominale de vol était de 125 m au dessus du niveau de la mer. Les données de position étaient à 10 secondes et les données magnétiques à 10 secondes. La trajectoire de vol a été restituée par l'application après le vol de corrections différentielles aux données brutes enregistrées avec un récepteur GPS.

Données de spectrométrie gamma

Les mesures du rayonnement gamma ont été effectuées avec un spectromètre gamma Radiation Solutions RS-500 utilisant cristaux de sodium (NaI) (Tl) de 102x102x6 mm. Les résultats de captage principal se composent de douze cristaux (volume total de 50.4 litres). Deux cristaux (volume total de 8.4 litres), protégés par le revêtement principal, ont été utilisés pour déceler les variations du rayonnement naturel causées par le radon atmosphérique. Le dispositif permettait de faire un suivi constant des pics du thorium pour chacun des cristaux et, au moyen d'un algorithme d'ajustement gaussien, de compenser le gain pour chacun des cristaux.

Le potentiel de rayonnement gamma a été évalué à l'aide d'un spectromètre gamma Radiation Solutions RS-500 utilisant cristal de sodium (NaI) (Tl) de 102x102x6 mm. Les résultats de captage principal se composent de douze cristaux (volume total de 50.4 litres). Deux cristaux (volume total de 8.4 litres), protégés par le revêtement principal, ont été utilisés pour déceler les variations du rayonnement naturel causées par le radon atmosphérique. Bien que ces deux cristaux soient destinés à mesurer les équivalents d'uranium et des équivalents de thorium, soit eU et eTh , les plages d'énergie utilisées pour mesurer le potassium, l'uranium et le thorium sont désignées comme des équivalents d'uranium et des équivalents de thorium, soit 1660 à 1860 keV et de 2410 à 2810 keV. Le débit total de la dose absorbée par l'air, en nanograys à l'heure, a été déterminé à coupes dans la plage de 400 à 2810 keV.

Les spectres de rayonnement gamma ont été enregistrés à intervalle d'une seconde. Le traitement des données a suivi les procédures standards décrites dans IAEA, 1991 et IAEA, 2003. Pendant le traitement, les spectres étaient normalisés pour leur intensité lumineuse et convertis en unités de concentration en utilisant les rapports de capture de radon et de thorium dans les lignes de vol. Les données de rayonnement gamma ont ensuite été converties en unités de dose absorbée par l'air en utilisant les facteurs déterminés lors de vols effectués au-dessus de la bande d'émission de Dutton, Saskatchewan. Les facteurs pour le potassium, l'uranium et le thorium sont présentés dans le tableau 1. Pour la mise en carte, un filtre a été appliqué aux données corrigées, qui ont ensuite été interpolées suivant une grille à maille de 100 m.

Tableau 1. Sensibilité des spectromètres de chaque des avions.

Les résultats d'un levé aéroporté de spectrométrie gamma représentent les concentrations moyennes à la surface. Ces-ci sont influencées par les étendues variables des affleurements, des morts-morts, de la couverture végétale et de l'eau de surface. Par conséquent, les concentrations mesurées sont habituellement plus faibles que les concentrations réelles dans le substratum rocheux.

Données sur le champ magnétique

Le champ magnétique a été échantillonné 10 fois par seconde à l'aide d'un magnétomètre à vapeur d'iodure de calcium partagé (sensibilité = 0.005 nT) rigidelement fixé à l'avion. Les différences de valeur du champ magnétique aux intersections des lignes de levé ont été obtenues à l'aide d'un ensemble de données sur le champ magnétique mutuellement normalisées sur les lignes de vol. Ces valeurs normalisées ont ensuite été interpolées suivant une grille à maille de 100 m. Le champ géomagnétique international de référence (IGRF) à l'altitude de vol a été soustrait à la trajectoire de vol, qui représente le champ magnétique du royaume terrestre, fournissant une compонante essentiellement reliée à la magnetisation des sols.

La dérivée première verticale du champ magnétique représente le taux auquel varie le champ magnétique suivant la verticale. Le calcul de la dérivée première verticale supprime les composantes de grande longueur d'onde du champ magnétique et améliore considérablement la résolution des anomalies rapprochées des unités d'autres ou superposées. L'unité des propriétés des cartes de la dérivée première verticale est la coincidence de l'isogame de valeur zéro et des contacts verticaux aux hautes latitudes magnétiques (Hood, 1985).

References/Références

Hood, P.J. 1965. Gradient measurements in aeromagnetic surveying. *Geophysics*, v.30, p.891-902.

International Atomic Energy Agency, 1991. *Airborne gamma ray spectrometer surveying*. Technical Reports Series 323, IAEA, Vienna.

International Atomic Energy Agency, 2003. *Guidelines for radiometric mapping using gamma ray spectrometry data*. Technical Reports Series 1363, IAEA, Vienna.

PLANIMETRIC SYMBOLS / SYMBOLES PLANIMÉTRIQUES

Drainage	Drainage
Highway	Autoroute
Flight line	1155	Ligne de vol

ISOMAGNETIC LINES / LIGNES ISOMAGNÉTIQUES

250T	250T
500T	500T
100T	100T
2 nT	2 nT
Magnetic Depression	Dépression magnétique

MAP SHEET SUMMARY / SOMMAIRE DES FEUILLES

Sheet / Feuillet

MAP / CARTE

1. Natural Air Absorbed Dose Rate

Taux d'absorption naturel des rayons gamma dans l'air

2. Potassium

3. Uranium

4. Thorium

5. Uranium / Thorium

6. Uranium / Potassium

7. Thorium / Potassium

8. Ternary Radiolatitude Map

Diagramme ternaire des radiolatitudes

9. Residual Total Magnetic Field

Composante résiduelle du champ magnétique total

10. First Vertical Derivative of the Magnetic Field

Dérivée première verticale du champ magnétique

11. Planimetric Symbols

Symboles planimétriques

12. Isomagnetic Lines

Lignes isomagnétiques

13. National Topographic System Reference and Geophysical Map Index

Système national de référence cartographique et index des cartes géophysiques

14. Grid Spacing

Espace entre les lignes

15. Grid Size

Taille de la grille

16. Grid Type

Type de grille

17. Grid Number

Numéro de grille